

การวิเคราะห์การทำงานของเครื่องส่งน้ำไฮดรอลิกแรม

โดยวิธีแคแรกเทอริสติก

บันทึก สุวรรณตรากูล

สถาบันเทคโนโลยีพระจอมเกล้า ถนนรัชดาภิเษก

บทคัดย่อ

ทฤษฎีที่ใช้ในการวิเคราะห์การทำงานจากเครื่องส่งน้ำไฮดรอลิกแรมที่พัฒนาจนสามารถใช้ทำงานการทำงานของเครื่องได้ด้วยทฤษฎีของ Kro1 ทฤษฎีดังกล่าวได้ถือว่าสภาพการเกิดการกระแทกของน้ำเนื่องจากลิ้นกระตุนเป็นลักษณะของการเคลื่อนที่กลับของลิ้น้ำคล้ายกับการเคลื่อนที่ของของแข็ง นอกจากนั้นแล้วทฤษฎีของ Kro1 ยังคงใช้สมการสำเร็จรูปควบคู่กับค่าคงที่จากการทดสอบขึ้นส่วนอีกด้วย

การวิเคราะห์การทำงานของเครื่องส่งน้ำไฮดรอลิกแรมโดยวิธีแคแรกเทอริสติกนี้ วิเคราะห์ขนาดของลิ้นกระแทกที่เกิดจากการปิดและเปิดของลิ้นกระตุน และการเคลื่อนที่ของลิ้นกระตุนในห้องคำนึงถึงแรงเสียดทานของผิวห้อง การวิเคราะห์การปิดเปิดของลิ้นกระตุนและลิ้นส่งได้ใช้ข้อมูลจากการทดสอบขึ้นส่วนในสภาพของการไหลอย่างต่อเนื่องมาประกอบ สมการ การวิเคราะห์ทั้งหมดได้เขียนอยู่ในรูปของโปรแกรมคอมพิวเตอร์ โปรแกรมดังกล่าวสามารถแสดงผลของความดันและความเร็วของน้ำ ณ ตำแหน่งต่าง ๆ ของห้องที่เวลาหนึ่งเวลาใด อัตราการส่งน้ำและอัตราการใช้น้ำรวมทั้งค่าแห่งที่เกิดสภาพการเป็นโพรง (Cavitation)

1. บทนำ

เครื่องส่งน้ำไชครอลิกแรมเป็นอุปกรณ์ John Whitehurst ได้ประดิษฐ์ขึ้นใช้งาน เป็นคนแรกโดยใช้ส่งน้ำให้กับโรงงานทำเบียร์ เมื่อปี พ.ศ. 2315 แต่การทำงานของเครื่องส่งน้ำแบบนั้นยังไม่สามารถทำงานได้โดยอัตโนมัติ จึงคงจะงเด็กมาทำหน้าที่ปิดเปิดประตูน้ำ เพื่อทำให้เกิดการกระแทกของน้ำ (Water Hammer) ต่อมาในปี พ.ศ. 2319 Montgolfier ได้พัฒนาให้เครื่องส่งน้ำไชครอลิกแรมสามารถทำงานต่อเนื่องได้โดยอัตโนมัติ รายละเอียดเกี่ยวกับประวัติของเครื่องส่งน้ำดูได้จากเอกสารอ้างอิงหมายเลข [1]

ทางด้านการวิเคราะห์ทางทฤษฎี ได้มีผู้พยายามสร้างทฤษฎีเพื่อใช้วิเคราะห์สมรรถนะของเครื่องส่งน้ำไชครอลิกแรมมาโดยตลอด ทฤษฎีที่ใช้งานได้ผลเป็นทฤษฎีที่พัฒนาโดย Kro1 [1] อย่างไรก็ได้ทฤษฎีของ Kro1 ยังจำเป็นต้องใช้สมการสำหรับรูปแบบคู่ไปกับข้อมูลการทดสอบขึ้นส่วนของเครื่องส่งน้ำ

ในประเทศไทยได้มีผู้เห็นประโยชน์ของเครื่องส่งน้ำไชครอลิกแรมจึงได้มีการออกแบบสร้าง ทดสอบ และนำออกไปใช้งาน สถาบันการศึกษาและหน่วยราชการที่มีได้ให้ความสนใจได้แก่ จุฬาลงกรณ์มหาวิทยาลัย [2] สถาบันเทคโนโลยีพระจอมเกล้าธนบุรี [3,4] มหาวิทยาลัยสงขลานครินทร์ [5,6] กรมส่งเสริมอุตสาหกรรม [7] และกรมชลประทาน เป็นต้น นอกจากนี้ยังมี บริษัทเอกชนได้ผลิตขึ้นขายเป็นอุตสาหกรรมอีกด้วย

ผลงานวิจัยในประเทศไทยที่เกี่ยวข้องกับการศึกษาถึงตัวแปรต่าง ๆ ที่มีผลต่อสมรรถนะของเครื่องส่งน้ำไชครอลิกแรม สรุปได้ดังนี้ ดาวร [3] ทำการทดสอบเครื่องส่งน้ำไชครอลิกแรมโดยมีถังจ่ายอยู่สูงจากตัวเครื่อง 2.2 เมตร ใช้วัดลักษณะเครื่องยนต์เป็นลิ้นกระตุนมีน้ำหนักเป็นโหลด ลิ้นส่งทำด้วยทองเหลืองมีสปริงอยู่ด้านใน ผลการทดสอบพบว่าประสิทธิภาพสูงสุดของเครื่องส่งน้ำอยู่บริเวณตำแหน่งซึ่งความคันของน้ำที่ส่งไปใช้งานมีค่าประมาณ 5 ถึง 6 เท่า ของความคันเข้า (ความคันของถังจ่าย) ประสิทธิภาพของเครื่องไม่แปรกับระยะระหว่างชักของลิ้นกระตุน นอกจากนี้ยังได้พัฒนาทฤษฎีของ Kro1 โดยไม่ต้องใช้สมการสำหรับรูปแบบคู่ ระหว่างและคณิต [4] ใช้เครื่องส่งน้ำไชครอลิกแรมของดาวรทำการทดสอบอิทธิพลของปริมาตรอากาศในถังอากาศ ซึ่งพบว่าไม่มีผลต่อประสิทธิภาพของเครื่อง และทำการทดสอบโดยใช้สปริงเป็นโหลดที่ลิ้นกระตุน ผล

การทดสอบพบว่าได้ประสิทธิภาพดีที่สุดที่น้ำ จุลละพงษ์ และขณะ [5,6] ให้ออกแบบเครื่องส่งน้ำไช่ ครอบคลุมโดยเน้นให้สร้างง่าย ราคาถูก และบำรุงรักษาน้อย ลิ้นกระตุ้นทำด้วยเหล็ก บ่อลิ้น ทำด้วยยาง ลิ้นส่งเป็นแบบกระเช้า (Bucket-type Valve) ผลการทดสอบพบว่าประสิทธิภาพ สูงสุดของเครื่องส่งน้ำอยู่ที่ความดันของน้ำสูงไปใช้งานมีค่าประมาณ 5 เท่าของความดันแหล่ง จานวน ซึ่งสอดคล้องกับผลการทดสอบของดาวาร แต่เมื่อแยกต่างกันที่การทดสอบโดยจุลละพงษ์ และคณภาพว่า ประสิทธิภาพของเครื่องแปรผันกับช่วงชักของลิ้นกระตุ้น เมื่อทำการทดสอบโดยเพิ่ม ขนาดพื้นที่ของลิ้นส่งพบว่าอัตราการส่งน้ำและอัตราการใช้น้ำมีค่าเพิ่มขึ้น โดยที่ประสิทธิภาพไม่เปลี่ยน แปลง ประสิทธิภาพที่ได้จากเครื่องส่งน้ำของจุลละพงษ์และคณภาพว่ามีค่าสูงกว่าประสิทธิภาพเครื่อง ส่งน้ำของดาวารที่จุดทำงานเดียวกัน

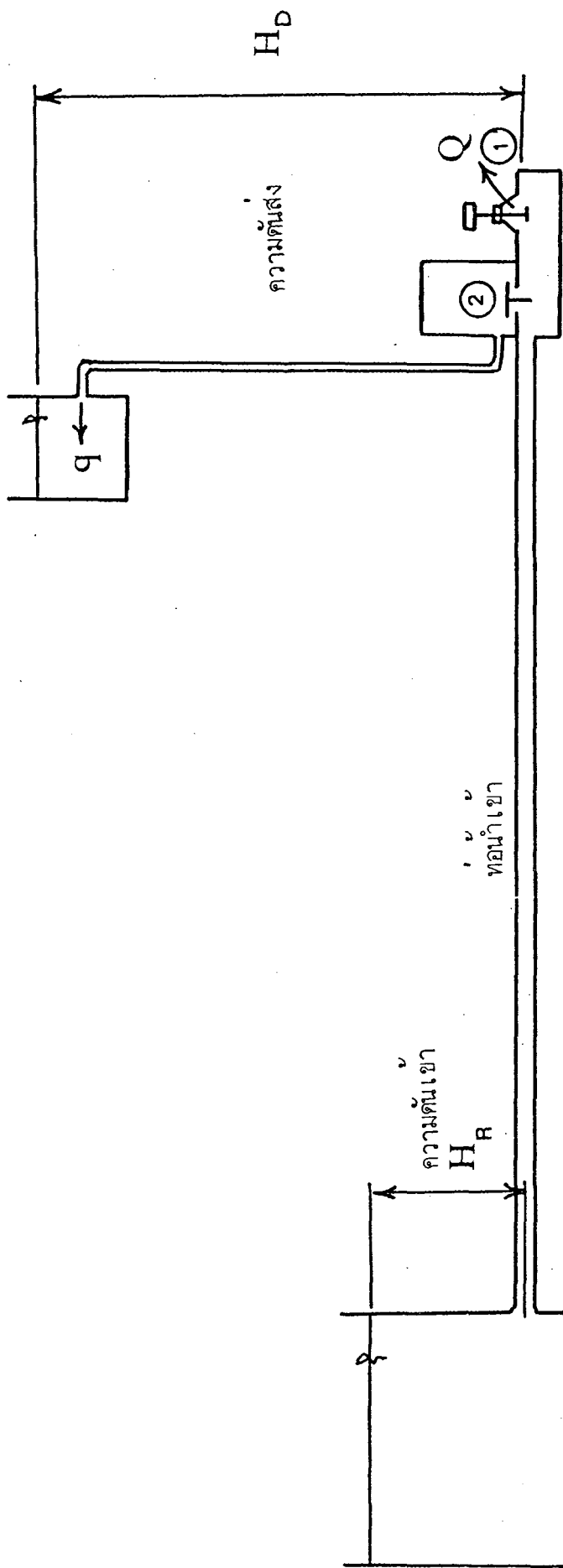
วัตถุประสงค์ของการศึกษาวิจัยนี้ เพื่อที่จะสร้างโมเดลทางคณิตศาสตร์ใช้วิเคราะห์ การทำงานของเครื่องส่งน้ำไช่ครอบคลุมโดยวิธีแครกเทอร์สติก โดยใช้ประกอบกับข้อมูลการ ทดสอบขั้นส่วนของเครื่องส่งน้ำ

2. โมเดลทางคณิตศาสตร์

โมเดลทางคณิตศาสตร์ของเครื่องส่งน้ำไช่ครอบคลุมเท่าที่เคยพัฒนามาแล้วได้ใช้วิธี การวิเคราะห์การกระแทกของน้ำโดยถือว่าน้ำในท่อน้ำเข้าเคลื่อนที่พร้อมกันคล้ายกับลิ้นน้ำ เคลื่อนที่ สำหรับโมเดลทางคณิตศาสตร์ที่นำมาเสนอจะแบ่งการวิเคราะห์ออกเป็น 2 ส่วนคือ ส่วนแรกเป็น การเคลื่อนที่ของน้ำในท่อน้ำเข้า เนื่องจากเกิดการกระแทกของน้ำถือว่าเป็นสภาพการไหลในสมดุล และวิเคราะห์โดยวิธีแครกเทอร์สติก ส่วนที่สอง เป็นการเคลื่อนที่ของน้ำผ่านลิ้นต่าง ๆ โดย ถือว่ามีสภาพถึงสมดุล (Quasi-steady) รูปที่ 1 แสดงการวางแผนของขั้นตอนดังนี้

2.1 การไหลในท่อน้ำเข้า

การไหลในท่อน้ำเข้าเป็นสภาพการไหลในสมดุล เวิธีการวิเคราะห์ สภาพการไหลในสมดุล เสนอมีอยู่หลายวิธี แต่วิธีที่นิยมใช้ในปัจจุบันคือวิธีแครกเทอร์สติก (Charateristics Method) ซึ่งเป็นวิธีการเปลี่ยนสมการเชิงอนุพันธ์อยู่ 2 สมการมาอยู่ในรูป



ไดอะแกรมเครื่องร้อนสูงสำหรับอุณหภูมิธรรมชาติ

รูปที่ 1

ของสมการเชิงอนุพันธ์สามัญ 4 สมการ และแก้ปัญหาสมการทั้ง 4 โดยเขียนอยู่ในรูปของผลดำเนินการเนื่อง (Finite Difference) รายละเอียดคูก้าจากหนังสือของ Wyllie และ Streeter [8] และ Chaudhry [9]

สมการที่ใช้เคราะห์การเคลื่อนที่ของส่วนใดส่วนหนึ่งของล้าน้ำเขียนได้เป็น

$$(ก) \text{ สมการการทรงมวล } : \frac{\partial H}{\partial t} + \frac{a^2}{g} \frac{\partial v}{\partial x} = 0 = L_1 \dots (1)$$

$$(ข) \text{ สมการการเคลื่อนที่ } : g \frac{\partial H}{\partial x} + \frac{\partial v}{\partial t} + \frac{f}{D} v |v| = 0 = L_2 \dots (2)$$

เมื่อ v เป็นความเร็วของน้ำ

H เป็นความดันน้ำคือเป็นความสูงของน้ำ

x เป็นระยะทางตามแนวแกนของหนองเข้า

t เป็นเวลา

a เป็นความเร็วเสียงในน้ำ

g เป็นอัตราเร่งเนื่องจากความโน้มถ่วงของโลก

f เป็นค่าแฟคเตอร์ความเสียดทาน

D เป็นเสนผาศูนย์กลางหนองเข้า

รวมสมการ (1) และ (2) เข้าด้วยกันแบบเสนอตรงโดยใช้ลักษณะสิทธิ์ λ เป็นตัวคูณ

$$L = \lambda L_1 + L_2 = \lambda \left[\frac{\partial H}{\partial t} + \frac{a^2}{g} \frac{\partial v}{\partial x} \right] + \left[g \frac{\partial H}{\partial x} + \frac{\partial v}{\partial t} + \frac{f}{D} v |v| \right] = 0$$

$$L = \lambda \left[\frac{\partial H}{\partial x} \cdot \frac{g}{\lambda} + \frac{\partial H}{\partial t} \right] + \left[\frac{\partial v}{\partial x} \cdot \lambda \frac{a^2}{g} + \frac{\partial v}{\partial t} \right] + \frac{f v |v|}{2D} = 0 \dots (3)$$

เนื่องจากความดัน H และความเร็ว v เป็นฟังก์ชันของระยะทาง x และเวลา t ก็งนี้ เมื่อกระจายในรูปสมการอนุพันธ์อย่อยจะได้

$$\frac{\partial H}{\partial t} = \frac{\partial H}{\partial x} \frac{dx}{dt} + \frac{\partial H}{\partial t} \dots \dots \dots \dots \dots \dots (4)$$

$$\frac{\partial v}{\partial t} = \frac{\partial v}{\partial x} \cdot \frac{dx}{dt} + \frac{\partial v}{\partial t} \dots \dots \dots \dots \dots \dots (5)$$

โดยการตรวจสอบสมการที่ (3) พบราก้าให้

$$\frac{dx}{dt} = \frac{g}{\lambda} = \frac{\lambda a^2}{g} \dots\dots\dots\dots\dots (6)$$

จะมีผลให้สมการ (3) เปลี่ยนรูปได้เป็นสมการเชิงอนุพันธ์สามัญตามสมการ (7)

$$\frac{\lambda dH}{dt} + \frac{dv}{dt} + f \frac{v|v|}{2D} = 0 \dots\dots\dots\dots\dots (7)$$

จากสมการที่ (6) เมื่อค่าน้ำค่า λ จะพบว่ามี 2 ค่าคือ

$$\lambda = \pm \frac{g}{a} \dots\dots\dots\dots\dots (8)$$

และเมื่อแทนกลับไปอยู่ในรูปของ dx/dt ได้

$$\frac{dx}{dt} = \pm a \dots\dots\dots\dots\dots (9)$$

แสดงให้เห็นว่าการเปลี่ยนแปลงทำแน่นของความตันและความเร็ว สัมพันธ์กับการเปลี่ยนแปลงเวลาด้วยความเร็วเสียงในน้ำ a 2 ค่า ซึ่งหมายถึงการเคลื่อนที่ 2 ทาง ดังนี้ ถ้าใช้ค่า λ เป็นบวกแทนลงในสมการ (7) จะต้องใช้ค่า λ เป็นบวกแทนลงในสมการ (9) ด้วย และใช้วิธีเดียวกันสำหรับค่า λ ที่เป็นลบ

เมื่อแทนค่า λ ลงในสมการ (7) และ (9) จะได้สมการเชิงอนุพันธ์สามัญ 4 สมการ ซึ่งแบ่งตามค่าบวกและค่าลบของ λ ได้เป็น 2 กลุ่ม คือกลุ่มแคแรกเทอริสติก C^+ และกลุ่มแคแรกเทอริสติก C^- ดังนี้

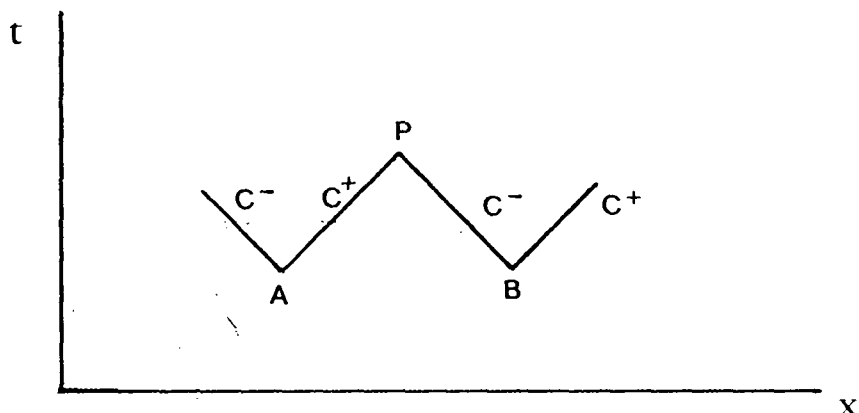
$$\text{กลุ่มแคแรกเทอริสติก } C^+ \quad \frac{g}{a} \frac{dH}{dt} + \frac{dv}{dt} + f \frac{v|v|}{2D} = 0 \dots\dots\dots\dots\dots (10)$$

$$\frac{dx}{dt} = +a \dots\dots\dots\dots\dots (11)$$

$$\text{กลุ่มแคแรกเทอริสติก } C^- \quad -\frac{g}{a} \frac{dH}{dt} + \frac{dv}{dt} + f \frac{v|v|}{2D} = 0 \dots\dots\dots\dots\dots (12)$$

$$\frac{dx}{dt} = -a \dots\dots\dots\dots\dots (13)$$

รูปที่ 2 แสดงทำแน่นที่ของจุด A และ B จุดทั้งสองทางก้มเส้นแคแรกเทอริสติก ค่าน้ำตามสมการ (11) แสดงด้วยเส้น C^+ และเส้นแคแรกเทอริสติกค่าน้ำตามสมการ (13) แสดงด้วยเส้น C^- ถ้าจุด A และ B อยู่ใกล้กัน จุดตัดที่เกิดจาก C^+ ของ A และ C^- ของ B



รูปที่ 2

เส้นแคแรกเทอริสติกบนระนาบ $x - t$

จะได้จุด P ตำแหน่งของจุด P สามารถหาได้โดยตรงจากรูปที่ 2 ความดัน H และความเร็ว v สามารถคำนวณได้จากค่า H และ v ของ A และ B โดยแก้สมการ (10) และ (12) โดยการอินทิเกรตจาก A ถึง P และจาก B ถึง P ตามเส้นแคแรกเทอริสติก

จาก (10) และแทนค่า $dt = dx/a$

$$dH + \frac{a}{g} dv + \frac{a f}{2gD} v |v| \cdot \frac{dx}{a} = 0$$

อินทิเกรตจาก A ถึง P ตามแนว C^+

$$\int_{H_A}^{H_P} dH + \frac{a}{g} \int_{v_A}^{v_P} dv + \frac{f}{2gD} \int_{x_A}^{x_P} v |v| dx = 0$$

$$H_P - H_A + \frac{a}{g} (v_P - v_A) + \frac{f \Delta x}{2gD} v_A |v_A| = 0 \dots (14)$$

ในทำนองเดียวกันจาก (12)

$$H_P - H_B - \frac{a}{g} (v_P - v_B) - \frac{f \Delta x}{2gD} v_B |v_B| = 0 \dots (15)$$

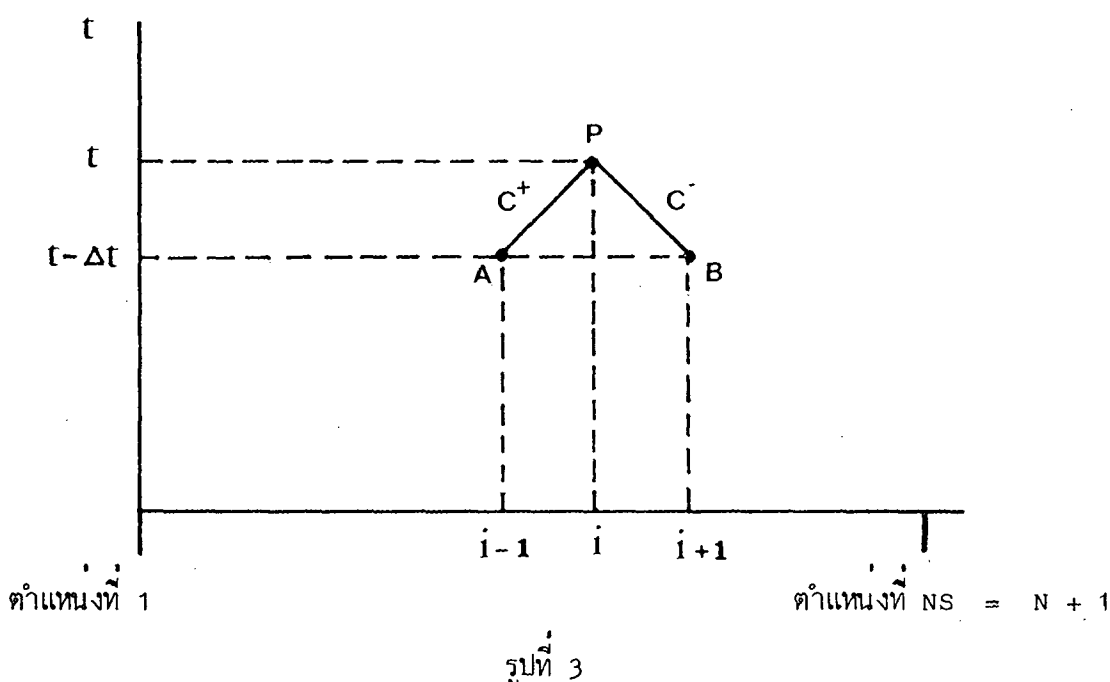
ในการถือต้องการคำนวณให้อยู่ในรูปของอัตราการไหลจะได้

$$\text{ตามสูตร } C^+ : H_P - H_A + \frac{a}{gA} (Q_P - Q_A) + \frac{f\Delta X}{2gDA^2} Q_A |Q_A| = 0 \dots\dots (16)$$

$$\text{ตามสูตร } C^- : H_P - H_B - \frac{a}{gA} (Q_P - Q_B) - \frac{f\Delta X}{2gDA^2} Q_B |Q_B| = 0 \dots\dots (17)$$

เมื่อ A เป็นพื้นที่หน้าตัดของท่อ

ในการแก้ปัญหาโดยใช้คอมพิวเตอร์เข้าช่วย จะแบ่งท่อออกเป็นส่วนต่าง ๆ N ส่วน แต่ละส่วนมีความยาว ΔX เวลาที่ใช้คำนวณแต่ละชั้นมีค่า $\Delta t = \Delta X/a$ ดังแสดงในรูปที่ 3



การกำหนดค่าแห่งความความเร็วท่อ

ค่าแห่งที่กำหนดไว้ตามแนวท่อคือ ค่าแห่งที่ 1 เป็นค่าแห่งของถังจ่ายน้ำให้ท่อน้ำเข้า และค่าแห่ง NS เป็นค่าแห่งของถังกรະดูนและลิ้นสูบ ซึ่งค่าแห่งทั้งสองจะได้กล่าวในหัวข้อตอนไป

ถ้าจุด A เป็นจุดอยู่ที่ค่าแห่ง $i-1$ และจุด B อยู่ที่ค่าแห่ง $i+1$ เราสามารถกำหนดค่าแห่งของจุด P ซึ่งเป็นจุดตัดของ C^+ ของ A และ C^- ของ B ได้ดังรูปที่ 3

สมการ (16) และ (17) สามารถเขียนอยู่ในเทอมของค่าแห่งความความเร็วท่อได้ดังนี้

$$\text{จากสมการ (16), } H_{Pi} - H_{i-1} + BQ_{Pi} - BQ_{i-1} + RQ_{i-1} |Q_{i-1}| = 0$$

$$\text{หรือ } H_{Pi} = H_{i-1} + BQ_{i-1} - RQ_{i-1} | Q_{i-1} - BQ_{Pi} \quad \dots \dots \dots (18)$$

$$\text{เมื่อ } B = \frac{a}{gA} \quad \text{และ} \quad R = \frac{f\Delta X}{2gDA^2}$$

$$\text{ดังนั้น } C_P = H_{i-1} + BQ_{i-1} - RQ_{i-1} | Q_{i-1} \quad \dots \dots \dots (19)$$

แทนค่าลงในสมการ (18)

$$H_{Pi} = C_P - BQ_{Pi} \quad \dots \dots \dots (20)$$

ในท่านองเดียวกันแทนค่า B และ R ลงในสมการที่ (17) และให้

$$C_M = H_{i+1} - BQ_{i+1} + RQ_{i+1} | Q_{i+1} \quad \dots \dots \dots (21)$$

เขียนสมการ (17) ได้เป็น

$$H_{Pi} = C_M + BQ_{Pi} \quad \dots \dots \dots (22)$$

สมการ (20) และสมการ (22)

$$H_{Pi} = \frac{1}{2} (C_P + C_M) \quad \dots \dots \dots (23)$$

สมการ (23) ใช้ในการหาค่า H_P ณ. ตำแหน่ง i เมื่อเวลา t จากข้อมูลของ C_P ของตำแหน่ง $i-1$ และ C_M ของตำแหน่ง $i+1$ เมื่อเวลา $t - \Delta t$

ในการวิเคราะห์การทำงานของเครื่องส่งน้ำไทรคลิกแรมเมื่อให้ทำงานที่ความดันสูงๆ จะพบว่าเกิดสภาพการเป็นโพรง (Cavitation) ขึ้นภายในห้องส่งน้ำ ซึ่งในการวิเคราะห์จะต้องทำการตรวจสอบค่าความดันที่คำนวณได้จะต้องไม่ต่ำไปกว่าความดันไอของน้ำที่อุณหภูมิดังกล่าว แต่ถ้าหากความดันไม่ต่ำกว่าความดันไอจะคงกวนค่าให้เป็นค่าความดันไอ และคำนวณการเกิดโพรงในส่วนนี้ด้วย สภาพการเกิดโพรงในห้องเป็นเรื่องที่กำลังอยู่ในความสนใจในปัจจุบันเนื่องจากเมื่อเกิดสภาพการเป็นโพรงขึ้นจะเกิดจากการคลายตัวของอากาศอีสระในน้ำ และการเกิดโพรงไอน้ำขึ้น ซึ่งทำให้ความเร็วเสียงในน้ำลดลงอย่างมาก [10]

2.2 เงื่อนไขขอบเขตที่ถังจ่ายน้ำ

ค่าเงื่อนไขขอบเขตที่ถังจ่ายน้ำถูกกำหนดด้วยค่าความสูงของระดับน้ำในถังจ่ายน้ำด้วยกับตำแหน่งของลิ้นกระตุน ซึ่งเรียกว่าความดันเข้า H_R



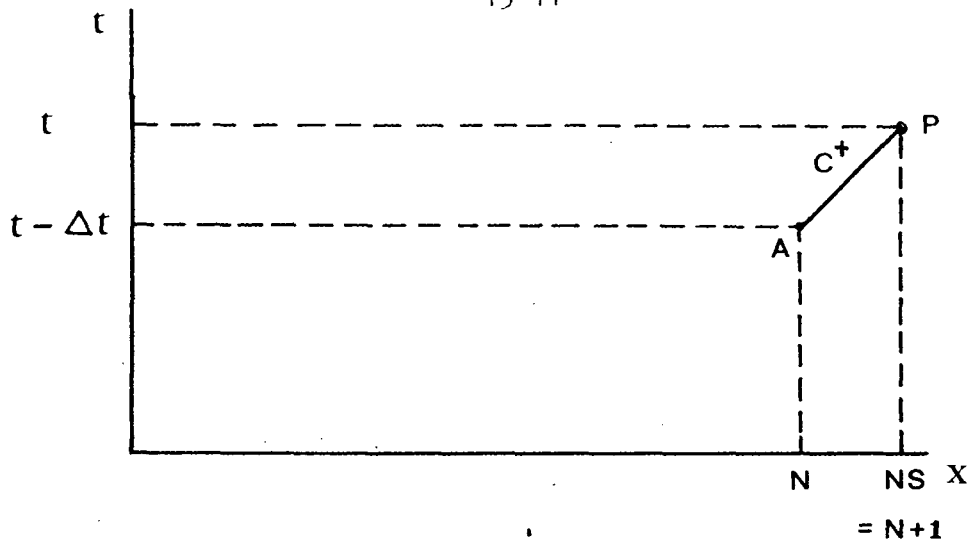
รูปที่ 4

เส้นแคร์เรกเทอริสติกที่ถังจ่ายน้ำ

ดังนั้นเมื่อพิจารณาเส้นแคร์เรกเทอริสติกที่ถังจ่ายน้ำจากรูปที่ 4 จะพบว่า จุด B อยู่ ณ. ตำแหน่ง 2 และจุด P อยู่ที่ตำแหน่ง 1 การหาความดันด้วยการแทนค่าในสมการ (17) ด้วยค่าที่ทราบ H_B และ Q_B สำหรับค่า H ที่ P หรือเรียกว่า H_P ในแทนค่าด้วยค่า H_R ตามเงื่อนไขขอบเขตของตน

2.3 เงื่อนไขขอบเขตที่เครื่องส่งน้ำไฮดรอลิกแรม

เงื่อนไขขอบเขตที่เครื่องส่งน้ำไฮดรอลิกแรมมีค่าเปลี่ยนแปลงไปตามตำแหน่งของลิ้นกระตุน ตำแหน่งของชิ้นส่วน และความดันสั่ง ถ้าเรียกตำแหน่งที่เครื่องส่งน้ำเป็นตำแหน่งเดียวกับปลายหัวคือ ตำแหน่ง N_S จะเขียนเส้นแคร์เรกเทอริสติกได้ดังรูปที่ 5



รูปที่ 5

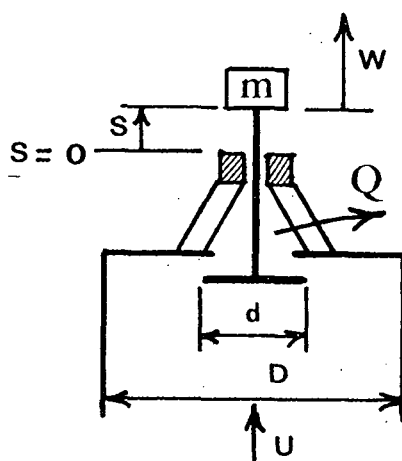
เส้นแคแรกเตอร์สติกที่เครื่องส่งนำ้ใช้ครอลิกเรน

ณ. เวลา $t - \Delta t$ ที่จุด A มีความดันและอัตราการไหลที่ทราบค่าเป็น H_{AN} และ Q_{AN} และเมื่อเวลา t ในเรียกความดันและอัตราการไหลที่ต้องการคำนวณว่า H_{PNS} และ Q_{PNS} ตามลำดับ นำไปแทนค่าในสมการ (16) จะได้

$$H_{PNS} - H_{AN} + \frac{a}{gA} (Q_{PNS} - Q_{AN}) + \frac{f\Delta x}{2gDA^2} Q_{AN} |Q_{AN}| = 0 \dots (24)$$

สมการ (24) จะติดค่าที่ไม่ทราบคือ H_{PNS} และ Q_{PNS} ซึ่งได้ทราบค่าได้ค่าหนึ่งจะหากวิธีการแก้ไขนี้ได้ ในการวิเคราะห์ตามเอกสารนี้ จะหาค่า Q_{PNS} จากโนเมลของลิ้นกระคุณและโนเมลของลิ้นสัง ตามหัวข้อ 2.3.1 และ 2.3.2 ตามลำดับ

2.3.1 โนเมลของลิ้นกระคุณ



รูปที่ 6

การเคลื่อนที่ของน้ำผ่านลิ้นกระคุณ

นำเคลื่อนที่ผ่านห้องขนาดเส้นผ่าศูนย์กลาง D มีความเร็ว B เข้าสู่ห้องลิ้นกระตุน
ซึ่งมีขนาดเส้นผ่าศูนย์กลางลิ้นกระตุน a และระยะช่วงขักของลิ้นกระตุนเป็น G m. เวลาใดเวลา
หนึ่งลิ้นกระตุนมีความเร็ว P

$$\text{แรงกระทำต่อลิ้นกระตุน} = \rho \left(\frac{\pi}{4} d^2 \right) \cdot \left[\frac{1}{2} C_{DK} (U-W)^2 + C_{DP} g H_{PNS} \right] \dots\dots\dots (25)$$

เมื่อ C_{DK} เป็นค่าสัมประสิทธิ์ของแรงหน่วงเนื่องด้วยความเร็ว

C_{DP} เป็นค่าสัมประสิทธิ์ของแรงหน่วยเนื่องด้วยความดัน

H_{PNS} เป็นความดันเกจวัดเป็นความสูงของน้ำ

แรงกระทำ F กระทำต่อมวลของชุดลิ้นกระตุนซึ่งมีมวล m ทำให้เกิดอัตราเร่ง a

$$\text{จากกฎของที่ 2 ของนิวตัน } a = \frac{F-mg}{m} = \frac{F}{m} - g \dots\dots\dots (26)$$

ถ้ากำหนดให้ช่วงเวลาในการวิเคราะห์เป็นช่วงสั้น ๆ จะถือว่า a มีค่าคงที่ตลอด
ช่วงโดยไม่ทำให้ผลวิเคราะห์ผิดพลาดมากนัก ดังนั้นความเร็วและระยะทางที่ลิ้นกระตุนเคลื่อนที่มา

$$W_{t+\Delta t} = W_t + a\Delta t \dots\dots\dots (27)$$

$$S_{t+\Delta t} = W_t \Delta t + \frac{1}{2} a(\Delta t)^2 \dots\dots\dots (28)$$

โดยที่ S มีค่าสูงสุดในเกินระยะช่วงขัก, G

อัตราการไหลของน้ำผ่านลิ้นกระตุนคำนวณได้จาก

$$Q = C_d A_G \sqrt{2gH} \dots\dots\dots (29)$$

เมื่อ C_d เป็นค่าสัมประสิทธิ์การไหลของลิ้นกระตุน

A_G เป็นพื้นที่ทางออกของน้ำที่ให้ผ่านลิ้นกระตุน

เพื่อความสะดวกจะเขียนอยู่ในรูปของอัตราการไหล เมื่อลิ้นกระตุนเปิดมากที่สุด
ซึ่งอัตราการไหลเมื่อลิ้นกระตุนเปิดมากที่สุดคือ

$$Q_o = (C_d A_G) o \sqrt{2gH_o} \dots\dots\dots (30)$$

เมื่อ Q_0 เป็นอัตราการไหลเมื่อลิ้นกระตุนเปิดมากที่สุด
 H_0 เป็นความดันตกข้ามลิ้นกระตุนเมื่อเปิดมากที่สุด

สมการ (23)/สมการ (24) และจัดรูปใหม่

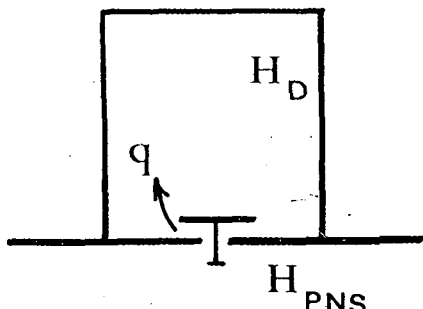
$$Q = \frac{Q_0}{\sqrt{\frac{H_0}{H}}} \tau \sqrt{H} \quad \dots \dots \dots \quad (31)$$

$$\text{เมื่อ } \tau = \frac{Cd A_G}{(Cd A_G)_0} \quad \dots \dots \dots \quad (32)$$

เขียนสมการ (31) ในรูปเงื่อนไขขอบเขต

$$Q = \frac{Q_0}{\sqrt{\frac{H_0}{H_{PNS}}}} \tau \sqrt{H_{PNS}} \quad \dots \dots \dots \quad (33)$$

2.3.2 โนเดลของลิ้นส่ง



รูปที่ 7

การเคลื่อนที่ของน้ำผ่านลิ้นส่ง

ลักษณะของลิ้นส่งอาจเป็นแบบกระช้าหรือแบบเป็นสปริงอ่อนกด ซึ่งหงส่องแบบด่างกันที่หลักการออกแบบอย่างเดียวกันคือ พยายามให้มีพื้นที่การไหลมากที่สุดและมีระยะยกต่ำ ๆ แรงกดที่เกิดจากสปริงอ่อน หรือน้ำหนักมีเท่ากันไม่ให้มีรั้วในกลับ เมื่อความต้านทานข้ามลดลงโดยง่าย

สมการวิเคราะห์ความดันตกข้ามลิ้นส่งเขียนได้เป็น

$$h_L = a + bq^2 \quad \dots \dots \dots \quad (34)$$

เนื่อง h_L เป็นความคันคากเมื่อผ่านลิ้นสัง

q เป็นอัตราการไหลผ่านลิ้นสัง

a และ b เป็นค่าคงที่สามารถหาได้จากการทดลอง

$$\text{สมการ (34) จะได้ต่อ } H_{PNS} \geq H_D + a$$

จากรูปที่ 7 สามารถเขียนสมการได้เป็น

$$H_{PNS} = H_D + h_L = H_D + a + bq^2 \dots (35)$$

$$\text{และ } q = \sqrt{(H_{PNS} - H_D - a)/b} \dots \dots \dots (36)$$

จากสมการที่ (33) และ (36) สามารถเขียนสมการของอัตราการไหลในห้อง Q_{PNS} ได้เป็น

$$Q_{PNS} = Q + q = \frac{Q_0}{\sqrt{H_0}} \tau \sqrt{H_{PNS}} + \sqrt{(H_{PNS} - H_D - a)/b} \dots (37)$$

3. ตัวอย่างผลการคำนวณที่ได้จากโมเดล

โมเดลทางคณิตศาสตร์ของเครื่องส่งน้ำไฮดรอลิกแรมได้เขียนอยู่ในรูปโปรแกรม
คอมพิวเตอร์ภาษาเบล็ก ใช้กับไมโครคอมพิวเตอร์ IBM รุ่น AT และตั้งชื่อว่า HYRAM ค่าคง
ที่ของเครื่องส่งน้ำไฮดรอลิกแรมของถาวร [3] ได้ถูกป้อนเข้ากับโปรแกรมดังกล่าวดังรายละเอียดดังนี้ :-

ความยาวท่อน้ำขา	20.5	m.
เส้นผ่าศูนย์กลางหอน้ำขา	52.5	m.m.
ระดับน้ำในถังจ่ายน้ำสูงจากเครื่องส่งน้ำ (ความตันขา)	2.2	m.
เส้นผ่าศูนย์กลางหอน้ำขาบริเวณลิ้นกรະคุນ	47.6	m.m.
เส้นผ่าศูนย์กลางลิ้นกรະคุນ	40	m.m.
เส้นผ่าศูนย์กลางบาลันกรະคุນ	38	m.m.
เส้นผ่าศูนย์กลางของลิ้นสัง	37.8	m.m.
สัมประสิทธิ์ของแรงหน่วงเนื่องด้วยความเร็ว, C_{DK}	=	1.0
สัมประสิทธิ์ของแรงหน่วงเนื่องด้วยความตัน, C_{DP}	=	0.6

สมการความล้มเหลวของ $C_d A_G$ กับระยะช่วงชัก (G)

$$C_d A_G = 8.89 \times 10^{-5} G^{0.5665} \quad \text{เมื่อ } G \text{ มีหน่วยเป็น m.m.}$$

$$\text{ค่าคงที่ของลิ้นส่ง } a = 1.287 \times 10^6 \text{ m}/(m^3/s)^2$$

$$b = 0.774745 \text{ m.}$$

$$\text{ความเร็วเฉียบในน้ำ} \quad 1380 \text{ m/s}$$

$$\text{แฟคเตอร์แรงเสียดทานของห้อ } 0.03424$$

รูปที่ 8 เป็นกราฟแสดงความดันหน้าลิ้นกระตุนและลิ้นส่ง อัตราการไหลของน้ำส่งใช้งาน อัตราการไหลของน้ำสูญเสีย และทำแหน่งของลิ้นกระตุน เมื่อเวลาเริ่มจากศูนย์จนถึง 1.5 วินาที เมื่อความดันสั่งมีค่า 8 เมตร ระยะช่วงชัก 8 มิลลิเมตร และมวลของลิ้นกระตุน 1.03695 กิโลกรัม

รูปที่ 9 เป็นกราฟแสดงน้ำส่งใช้งานเมื่อเปลี่ยนความดันสั่ง เมื่อตั้งระยะช่วงชักคงที่ 8 มิลลิเมตรที่มวลของลิ้นกระตุน 1.03695 กิโลกรัม และ 0.53695 กิโลกรัม รูปที่ 10 และรูปที่ 11 เป็นกราฟแสดงน้ำสูญเสีย และประสิทธิภาพของเครื่องส่งน้ำไฮดรอลิกแรมตามลำดับ

จากการเปรียบเทียบผลการทดลองกับตาราง [3] และจุลละพงษ์ และคณะ [5] พบรากурсโนมของกราฟค้าง ๆ มีลักษณะเช่นเดียวกัน ข้อสังเกตที่นำเสนอในใจคือ กราฟแสดงน้ำสูญเสีย และประสิทธิภาพมีลักษณะที่แก่งขึ้นลง เช่นเดียวกับผลการทดลอง แต่ผลการวิเคราะห์โดย Kro1 [1] ไม่มีลักษณะดังกล่าว ความแตกต่างที่เกิดจากทฤษฎีและการวิเคราะห์ที่เห็นได้ชัดคือ ความเวลาของวัฏจักรที่คำนวณได้ นิค่าที่คำนวณการทดลอง

4. สรุป

การวิเคราะห์การทำงานของเครื่องส่งน้ำไฮดรอลิกแรมโดยวิธีแคแรกเทอร์สติกสามารถวิเคราะห์การเคลื่อนที่ของคลื่นกระแทกที่เกิดจากการปิดเปิดลิ้นกระตุน การวิเคราะห์ความดัน การไหลของน้ำผ่านลิ้นกระตุนและลิ้นส่ง และทำแหน่งของลิ้นกระตุนในเวลาต่าง ๆ ได้ ข้อมูลที่จำเป็นต้องมีอกเห็นอย่างรู้บ้างของเครื่องส่งน้ำคือ ผลการทดลองลิ้นกระตุนและ

ลั่นส่งในสภาพการไฟ燎อย่างต่อเนื่อง การวิเคราะห์การทำงานของเครื่องส่งนำด้วยวิธีพัฒนา
ใหม่สามารถตัดการใช้สมการสำเร็จรูป ชั้ง Kro1 [1] ต้องใช้ออกไลท์หมก

กิติกรรมประกาศ

ผู้เขียนขอขอบคุณ พศ.ดร.จุลละโพธิ์ ที่กรุณาส่งเอกสารด้านเครื่อง
ส่งนำไหครอเลิกแรมชั้งไคพัฒนาอย่างต่อเนื่อง ณ. มหาวิทยาลัยสังขลานครินทร์มาให้ ขอขอบ
คุณก้าวจัยในศูนย์ปฏิบัติการวิจัยและพัฒนา คณะวิศวกรรมศาสตร์ สจด. ทุกท่าน ที่กรุณาย่วยเหลือ
ในการดำเนินการใช้เครื่องคอมพิวเตอร์

เอกสารอ้างอิง

1. Krol,J.,The Automatic HydraulicRam, Proceeding of the Institute of Mechanical Engineering, Vol. 165, 1951, P. 53-65.
2. ธรรม เบร์มาร์ด การศึกษาวิจัยเทคโนโลยีเหมาะสมเพื่อพัฒนาชั้นบท, วิศวกรรมก้าวหน้า, พฤศจิกายน 2522
3. ดาวรุ ทองเปี่ยม เครื่องส่งน้ำแบบไฮดรอลิกแรม, วิทยานิพนธ์ระดับปริญญาวิศวกรรมศาสตรบัณฑิต, ภาควิชาวิศวกรรมเครื่องกล สถาบันเทคโนโลยีพระจอมเกล้าธนบุรี, พ.ศ. 2520
4. ธรรม มีชัย และ อวยพร เรืองศรี การปรับปรุงประสิทธิภาพของเครื่องส่งน้ำแบบไฮดรอลิกแรม, วิทยานิพนธ์ระดับปริญญาวิศวกรรมศาสตรบัณฑิต, ภาควิชาวิศวกรรมเครื่องกล สถาบันเทคโนโลยีพระจอมเกล้าธนบุรี, พ.ศ. 2521
5. จุลละพงษ์ จุลละโพธิ์, ประจักษ์ ใจเย็น และวิโรจน์ เยาวพงศ์ศิริ การออกแบบสร้างและทดสอบเครื่องไฮดรอลิกแรม, การประชุมทางวิชาการ เรื่อง เทคโนโลยีสำหรับการพัฒนาชั้นบท, มหาวิทยาลัยขอนแก่น, 23 - 24 มกราคม 2524
6. จุลละพงษ์ จุลละโพธิ์ และรัตน์ เชียงสอน อิทธิพลของพื้นที่หน้าตัดการไหลในลิ้นส่งต่อสมรรถนะของไฮดรอลิกแรม การประชุมทางวิชาการเรื่อง ปัญหาพลังงานและการแก้ไข, มหาวิทยาลัยสงขลานครินทร์ วิทยาเขตหาดใหญ่, 2 - 4 กรกฎาคม 2524
7. กองบริการอุดสาหกรรมภาคเหนือ กรมส่งเสริมอุตสาหกรรม (2523) ไฮดรอลิกแรม, อุตสาหกรรมสาร, ปีที่ 23 ฉบับที่ 11 พฤศจิกายน 2523
8. Wylie,E.B.and Streeter,V.L.,Fluid Transients,McGraw-Hill,New York, 1978.

9. Chaudhry,M.H.,Applied Hydraulic Transients, Van Nostrand,
New York, 1979.

10. Baasiri,M and Tullis,J.P.,Air Release During Column Separation,
Journal of Fluid Engineering, Volume 105 March 1983,P. 113-118.

ภาคผนวก ก.

การวิเคราะห์ความดันและอัตราการไหลหนาลิ้นกระตุนและลิ้นสูง

ในการวิเคราะห์ความดันและอัตราการไหลหนาลิ้นกระตุนและลิ้นสูงสามารถแบ่งเป็นกรณีดัง ๆ ได้ 4 กรณีคือ

ก.1 ลิ้นกระตุนเปิด ลิ้นสูงปิด

$$\text{จากสมการ (27)} \quad Q = \frac{Q_o}{\sqrt{H_o}} \tau \sqrt{H_{PNS}}$$

เมื่อลิ้นสูงปิด \(\dot{q} = 0\) ดังนั้น \(Q_{PNS} = Q\)

$$\therefore Q_{PNS} = \frac{Q_o}{\sqrt{H_o}} \tau \sqrt{H_{PNS}} \quad (\text{ก.1})$$

จากสมการที่ (20) และคำเทcheng $i = NS$

$$\therefore H_{PNS} = C_p - BQ_{PNS} \quad (\text{ก.2})$$

แทน (ก.2) ลงใน (ก.1) และหาค่า Q_{PNS} ได้

$$Q_{PNS} = -BC_V + \sqrt{(BC_V)^2 + 2C_V C_p} \quad (\text{ก.3})$$

$$\text{เมื่อ } C_V = (Q_o \tau)^2 / 2H_o \quad (\text{ก.4})$$

ค่า H_{PNS} หาได้จากการแทน Q_{PNS} กลับไปสมการ (ก.2)

สมการ (ก.3) ใช้ได้ในกรณีที่ Q_{PNS} และ H_{PNS} มีค่าเป็นบวก แต่ในกรณีที่ ก่อนที่ลิ้นกระตุนเปิดพบว่าความดันในห้อง H_{PNS} คำกว่าบรรยายกาศ เมื่อลิ้นกระตุนเปิดมีผลให้ ความดัน H_{PNS} มีค่าเป็นความดันบรรยายกาศ

ก.2 ลิ้นกระตุนปิด ลิ้นส่งเปิด

การหันลิ้นส่งเปิดแสดงว่าความดันในหอน้ำมีค่าสูงกว่าความดันในถังเก็บและค่าคงที่เนื่องจากน้ำหนักลิ้น และแรงสปริง (กรณีที่มีแรงสปริงช่วยกด) รวมกัน

$$\text{จากสมการ (30)} \quad q = \sqrt{(H_{PNS} - H_D - a)/b}$$

$$\text{ในที่นี้ } Q_{PNS} = q$$

$$Q_{PNS} = \frac{1}{\sqrt{b}} \sqrt{H_{PNS} - H_D - a} \quad (\text{ก.5})$$

จากสมการ (ก.2)

$$H_{PNS} = C_P - BQ_{NS} \quad (\text{ก.2})$$

แทนค่า (ก.5) ลงใน (ก.6) หาก Q_{PNS} ได้

$$Q_{PNS} = \frac{-BC_K^2 + C_K \sqrt{B^2 C_K^2 - 4(H_D + a - C_P)}}{2} \quad (\text{ก.6})$$

$$\text{โดยที่ } C_K = \frac{1}{\sqrt{b}} \quad (\text{ก.7})$$

หาก H_{PNS} ได้จากสมการ (ก.2)

ก.3 กรณีลิ้นส่งและลิ้นกระตุนและลิ้นส่งปิด

กรณีลิ้นส่งและลิ้นกระตุนปิดยอมมีผลให้ $Q = 0$ ดังนั้น เมื่อแทนค่า $Q_{PNS} = 0$ ลงในสมการ (ก.2) จะได้

$$H_{PNS} = C_P \quad (\text{ก.8})$$

ก.4 กรณีลิ้นกระตุนและลิ้นส่งเปิด

จากสมการ (31)

$$Q_{PNS} = \frac{Q_O \tau}{\sqrt{\frac{H_O}{H_P}}} \sqrt{H_{PNS}} + \sqrt{(H_{PNS} - H_D - a)/b} \quad (\text{ก.9})$$

$$\text{หรือ } Q_{PNS} = \sqrt{2C_V H_{PNS}} + \sqrt{(H_{PNS} - H_D - a)/b} \quad (\text{n.9})$$

และจากสมการ (n.2)

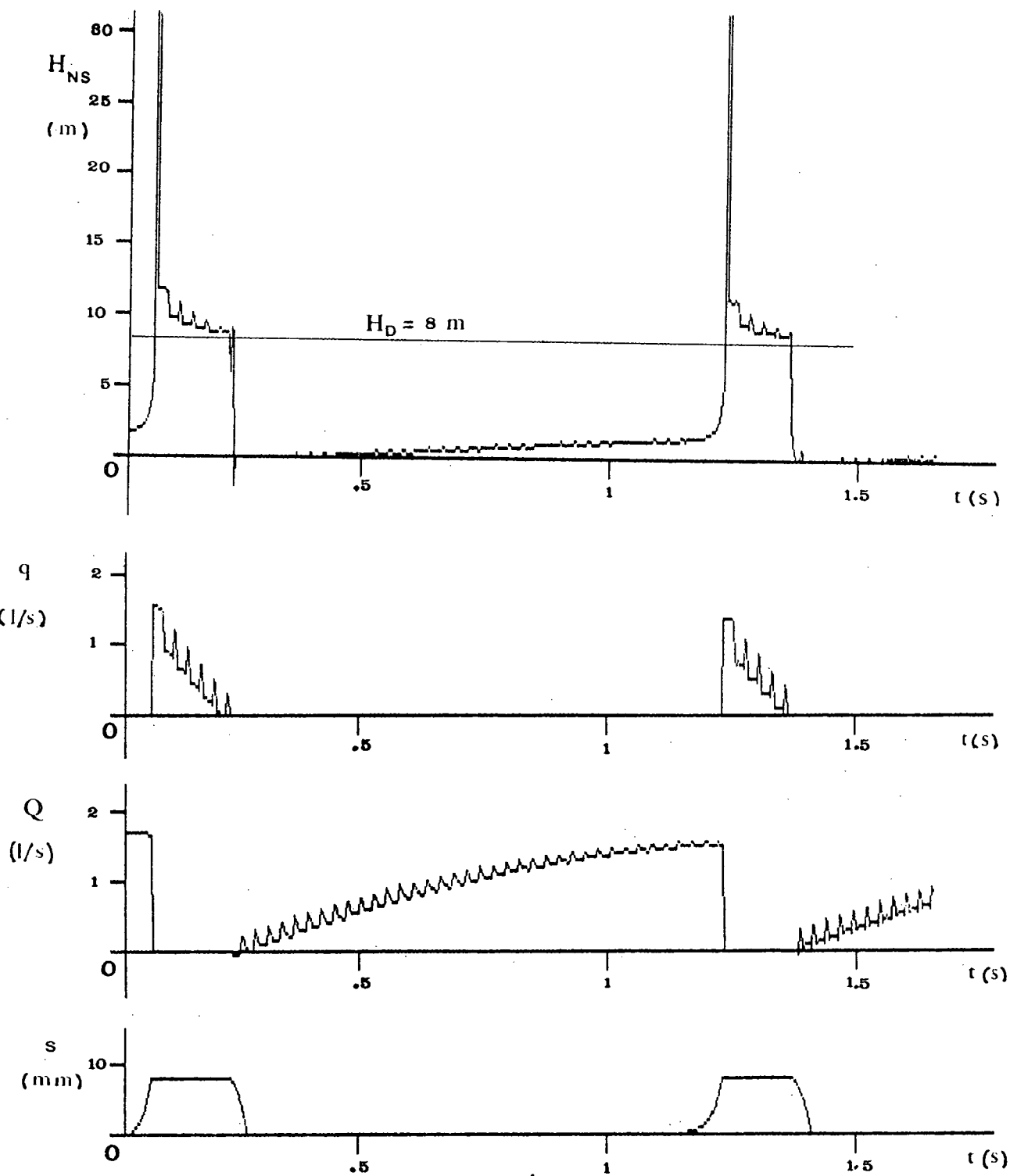
$$H_{PNS} = C_P - BQ_{PNS} \quad (\text{n.2})$$

การแก้สมการ (n.9) และ (n.2) เพื่อหาค่า Q_{PNS} และ H_{PNS} ใช้วิธีการ
ทําซํา (Iteration)

ภาคผนวก ช.รายการสัญลักษณ์

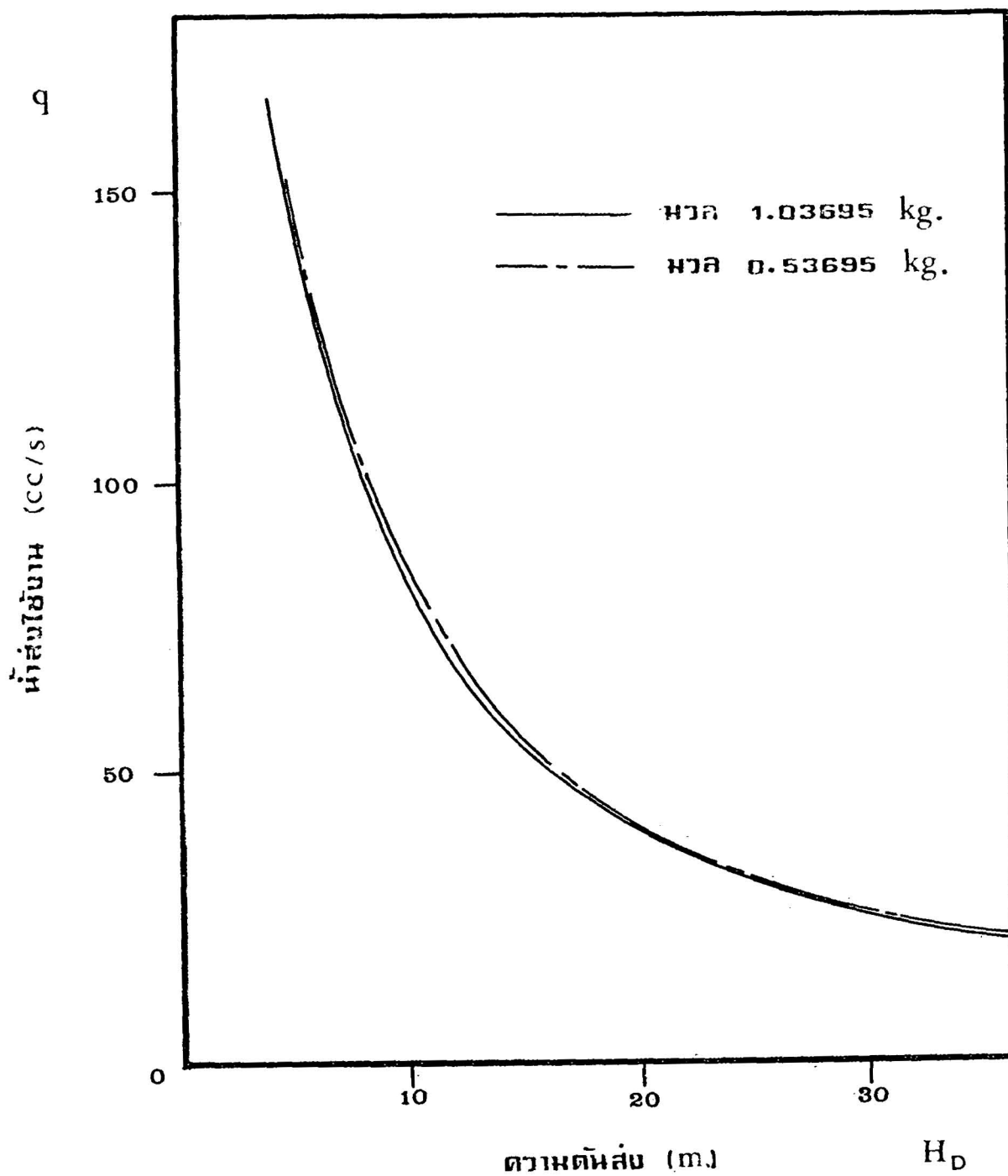
A	พื้นที่หน้าที่ดีของหอ
A_G	พื้นที่ทางออกของลิ้นกระตุน
a	ความเร็วเสียงในสำน้ำ
	ความเร็วของลิ้นกระตุน
	ความคงที่ของลิ้นส่ง
B	ความคงที่
C	แคแรก เทอริสติก
C_{DK}	สัมประสิทธิ์ของแรงหน่วงเนื่องด้วยความเร็ว
C_{DP}	สัมประสิทธิ์ของแรงหน่วงเนื่องด้วยความคัน
C_d	สัมประสิทธิ์การไฟล์ผ่านลิ้นกระตุน
C_K	ความคงที่
C_M	ความคงที่แคแรก เทอริสติกบาน
C_P	ความคงที่แคแรก เทอริสติกบาน
C_V	ความคงที่
D	เส้นผ่าศูนย์กลางหอ
F	แรงกระทำบนชุดลิ้นกระตุน
f	คาเฟเตอร์ความเสียดทานของหอ
G	ระยะช่วงขัก
g	อัตราเร่งเนื่องจากความโน้มถ่วงของโลก
H	ความคันวัดเป็นความสูงของสำน้ำ
H_D	ความคันสูง
H_P	ความคันที่จุด P
H_R	ความคันเข้า
h_L	ความคันตกเมื่อผ่านลิ้นส่ง

i	คำແທນີກີ່ໃນຫອສົງນຳ
m	ມວລຂອງລົ້ນກະຕຸນ
N	ຕຳແຫນີກີ່ໃນຫອ
NS	ຕຳແຫນີທີ່ລົ້ນກະຕຸນແລະລົ້ນສັງ
Q	ນຳສູງເສີຍທີ່ຜານລົ້ນກະຕຸນ
q	ນຳສັງໃຊ້ງານ
R	ຄາຄົງທີ່
s	ຮະຍະທາງເຄລືອນທີ່ຂອງລົ້ນກະຕຸນ
t	ເວລາ
U	ຄວາມເຮົວຂອງນຳຫນ້າລົ້ນກະຕຸນ
v	ຄວາມເຮົວຂອງນຳ
w	ຄວາມເຮົວຂອງລົ້ນກະຕຸນ
X	ຮະຍະທາງວັດທະນາແນວແກນ
λ	ສັນປະສົບທີ່
τ	ຄາຄົງທີ່

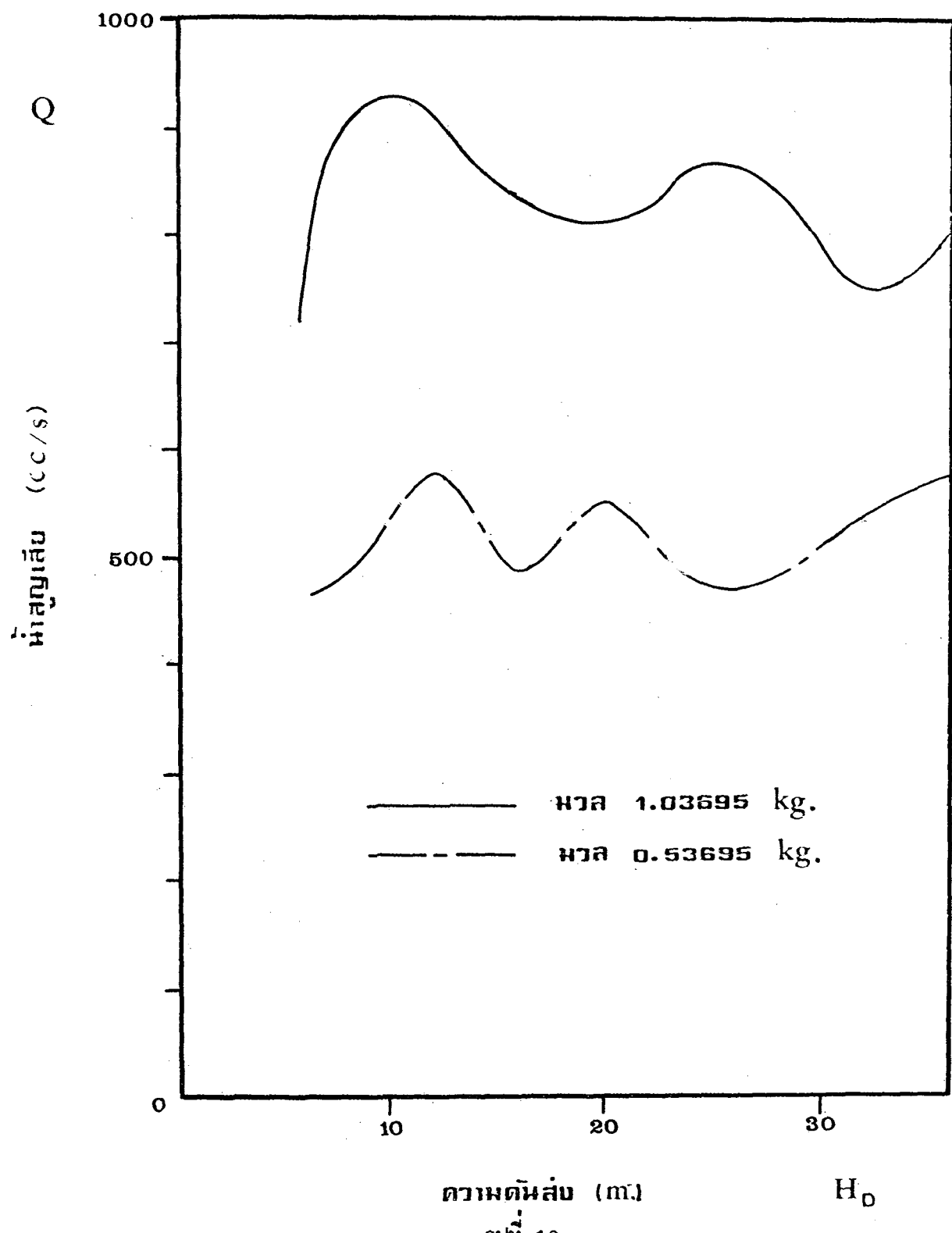


รูปที่ 8

กราฟแสดงความคันหนาลิ้นกระตุนและลิ้นส่ง อัตราไฟลของน้ำส่งใช้งาน
อัตราการไฟลของน้ำสูญเสีย และคำแหงของลิ้นกระตุน เมื่อความคันส่งมีค่า 8 เมตร
ระยะช่วงซัก 8 มิลลิเมตร และมวลลิ้นกระตุน 1.03695 กิโลกรัม



อัตราการไหลของน้ำส่งใช้งานที่ความดันสูงคง ๆ เมื่อระยะช่วงซัก

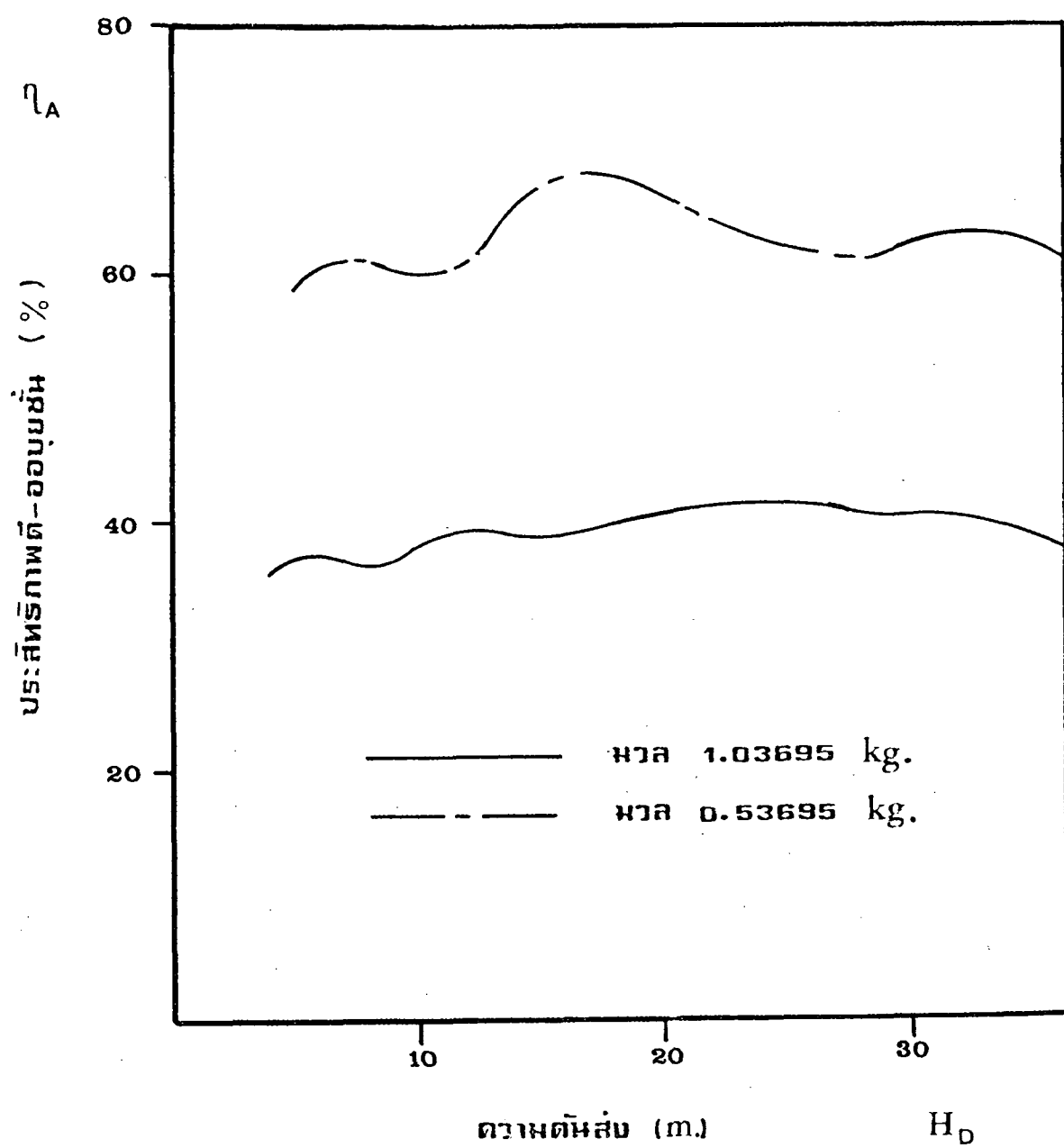


ความตันสัมบ (cm)

 H_D

รูปที่ 10

อัตราการไหลน้ำสูญเสียที่ความตันสัมบต่าง ๆ เมื่อระยะช่วงชัก 8 มิลลิเมตร



รูปที่ 11

ประสิทธิภาพดี-ออบยูชั่นที่ความตันส์บทาง ၅ เมื่อระยะช่วงชัก ၈ มิลลิเมตร